

УДК 518.6 + 621.398.4

САМОНАСТРАИВАЮЩАЯСЯ СЛЕДЯЩАЯ СИСТЕМА  
С ЦИФРОВЫМ УПРАВЛЯЮЩИМ УСТРОЙСТВОМ

В.А. Алексеев

Задача создания микроминиатюрных элементов для вычислительных систем [1] требует исследования и детальной отработки различных технологических процессов.

Большинство современных технологических циклов изготовления тонкопленочных и твердых схем предусматривает одновременное точное отслеживание нескольких параметров, зависящих от времени и друг от друга. Ввиду сложности и недостаточной изученности характеристик управляемых объектов, применение серийных аналоговых регуляторов оказывается затруднительным и малоэффективным. В этих условиях значительно более удобными и перспективными являются самонастраивающиеся регуляторы, использующие вычислительные и логические возможности цифровой вычислительной техники.

Технически цифровой регулятор может быть реализован в виде программы, хранящейся в памяти универсальной цифровой управляемой вычислительной машины (УВМ).

Работа цифрового регулятора состоит из замкнутого цикла дискретных операций, включающего в себя определение текущих динамических характеристик объекта, вычисление управляющих воздействий по заданному алгоритму и коррекцию алгоритма.

В связи со значительными вычислительными трудностями, возникающими при создании точной модели [2,3], целесообразно применение методов прямой оптимизации системы [4], позволяющих на основании приближенной модели объекта непосредственно формировать последовательность управляющих воздействий.

Критерием качества служит функция рассогласования между за-

данным и действительным значениями управляемой величины. Известны несколько методов прямой оптимизации - с использованием принципов динамического программирования [4,5,6], дифференциального исчисления [7] и их комбинации [8], а также линейной теории статистических решений [9].

Однако методы динамического программирования оказываются здесь малоэффективными вследствие значительного объема вычислений в каждом цикле; другие же методы пока применимы лишь для управления линейными объектами с медленно меняющимися динамическими характеристиками.

Целью настоящей работы является создание алгоритма следящей системы, объект регулирования которой подвержен значительным возмущениям по неконтролируемым входам (что приводит к нестационарности динамических характеристик объекта).

## I. Постановка задачи

Объектом регулирования является устройство, осуществляющее дискретный во времени процесс (для цифрового регулятора любой внешний процесс дискретен). Статическая характеристика и динамические свойства объекта перед включением системы в работу неизвестны и могут изменяться во время работы. Задача следящей системы заключается в быстрой минимизации рассогласования между заданным и действительным значениями управляемой величины.

Специальные пробные сигналы для изучения объекта не допускаются; для этой цели используются рабочие сигналы  $x$ , выдаваемые регулятором. Возмущения  $z$ , действующие на объект с неконтролируемыми входами (см. рис. I), учитываются косвенно через изменение динамической характеристики объекта "управляемый вход - выход". При этом каждое неконтролируемое возмущение должно вос-

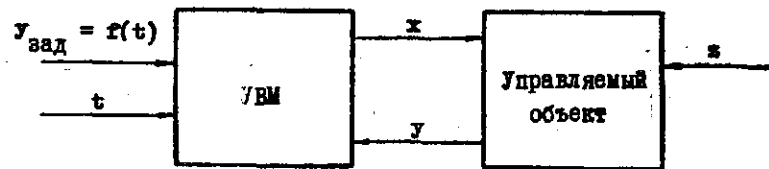


Рис. I. Блок-схема следящей системы.

приниматься как сигнал о необходимости коррекции модели. Таким образом, в каждом цикле строится приближенная модель детерминированного объекта.

Дальнейшее рассмотрение работы системы основано на следующих допущениях:

1. Статическая характеристика объекта  $y = f(x)$  в области  $\pm \varepsilon$  в первом приближении линейна для любого значения  $x$ . Здесь и далее  $x$  - управляющее воздействие, подаваемое на вход объекта в данный момент;  $y$  - установившееся значение управляемой величины на выходе объекта, соответствующее данному значению  $x$ ;  $\varepsilon$  - диапазон изменения  $x$ , достаточный для определения модели.

2. Структура объекта, определяющая характер его реакции на скачкообразные изменения управляющего воздействия (апериодическая, колебательная), изменяется достаточно медленно. Однако масштабные коэффициенты элементов динамической характеристики объекта (например, амплитуда и период колебания импульсной переходной функции) могут изменяться со скоростью, сравнимой со скоростью протекания переходных процессов в системе.

## 2. Математическая модель объекта

Из всех известных способов описания объекта наиболее удобным для расчетов на УВМ является уравнение в конечных разностях, связывающее в виде рекуррентной зависимости приращения входного и выходного воздействия через импульсную переходную функцию (ИПФ) либо ее интеграл - переходную функцию (ПФ) [4].

Применение каждого варианта этого метода в отдельности приводит к определенным трудностям, указанным в [7]. Поэтому для моделирования объекта воспользуемся ИПФ, позволяющей построить модель более просто; при составлении же алгоритма управления ПФ оказывается более удобной для экстраполяции процесса во времени.

Пусть известна таблица дискретных значений ИПФ объекта для моментов времени  $\frac{t-t_0}{\Delta t} = 1, 2, 3, \dots, i, i+1$ .

Здесь и далее  $\Delta t$  - интервал времени, равный длительности одного цикла работы дискретного регулятора,  $i$  - порядковый номер цикла.

Управляемая величина  $y$  линейного объекта связана при этом с входным воздействием следующим соотношением [3]:

$$y_m = y_0 + \sum_{i=1}^{\infty} \alpha_i (x_{m-i} - x_0). \quad (1)$$

Эффективную длительность ИПФ полагаем конечной и равной  $n+1$  циклов:  $\alpha_{n+1} = \alpha_{n+2} = \dots = \alpha_{\infty} = 0$ .

Для этого случая (1) перепишется так:

$$y_m = y_{m-n} + \sum_{i=1}^{n+1} \alpha_i (x_{m-i} - x_{m-n}). \quad (2)$$

С целью упрощения дальнейших выкладок введем более удобную систему счета времени, полагая текущее время в системе всегда равным нулю:

$$\frac{t_{\text{тек}} - t_0}{\Delta t} = m_{\text{тек}} = 0.$$

Тогда все прошедшие моменты времени будут иметь отрицательный знак, а будущие - положительный.

Уравнение (2) будет иметь при этом следующую запись:

$$y_0 = y_{-n} + \sum_{i=1}^{n+1} \alpha_i (x_{-i} - x_{-n}). \quad (3)$$

Для получения уравнения в конечных разностях выразим в форме (3) значение управляемой величины в предыдущем такте:

$$y_{-1} = y_{-n} + \sum_{i=1}^n \alpha_{i-1} (x_{-i} - x_{-n}). \quad (3')$$

Вычитая (3') из (3), получим после приведения подобных членов:

$$y_0 = y_{-1} + \sum_{i=1}^n \alpha_i (x_{-i} - x_{-i-1}), \quad (4)$$

$$\text{или } \Delta y_0 = \sum_{i=1}^n \alpha_i \cdot \Delta x_{-i}, \quad (4')$$

где  $\Delta y_0 = y_0 - y_{-1}$ , а  $\Delta x_{-i} = x_{-i} - x_{-i-1}$ .

Уравнение (4) либо (4') является искомым разностным уравнением и принимается в качестве математической модели объекта (с учетом допущения I, принятого в разделе I статьи).

## 3. Идентификация ИПФ объекта

Модель (4') позволяет по известной величине  $\Delta y_0$  и последовательностям  $\Delta x_{-i}$  вычислять таблицу коэффициентов  $\alpha_i$  ИПФ объекта. Непосредственно из (4') следует:

$$\alpha_k = \frac{1}{\Delta x_{-k}} (\Delta y_0 - \sum_{i=1}^{k-1} \alpha_i \cdot \Delta x_{-i} - \sum_{i=k+1}^n \alpha_i \cdot \Delta x_{-i}). \quad (5)$$

Из рассмотрения (5) видно, что на вычисление  $\alpha_k$  накладывается два ограничения:

а) Величина скачка входного воздействия  $\Delta x_{k-1}$  должна быть достаточной для обеспечения требуемой точности расчетов.

б) Перед началом вычислений, когда еще неизвестен ни один коэффициент  $\alpha_i$  и неизвестно  $n$ , необходимо, чтобы все члены второй суммы в (5) были равны нулю, что соответствует требованию установившегося процесса перед включением системы в работу.

Определение времени  $n$  эффективной длительности ИПФ объекта производится по выполнении условия:

$$|\alpha_{k-1} - \alpha_k| \leq \delta; \quad |\alpha_k| \leq \delta, \quad (6)$$

где  $\delta$  определяется точностью измерения управляемой величины  $y_o$  и длительностью цикла  $\Delta t$ .

Поскольку условие (6) представляет собой контроль первой и второй производных ИПФ, то перед проверкой по (6) вычисленную ИПФ при необходимости следует сгладить одним из известных способов [10].

При выполнении (6) эффективная длительность ИПФ фиксируется:

$$n = k, \quad \alpha_k = \alpha_n, \quad (7)$$

и ограничение б) на вычисление по (5) снимается.

В связи с тем, что достоверность членов второй суммы в (5) уменьшается с ростом  $i$  (параметры объекта успевают изменяться), вводится контрольный прогноз процесса на один шаг вперед для коррекции всей таблицы сразу [2]. Такая проверка позволяет также быстро выявить и учсть в дальнейших расчетах скачкообразные возмущения, действующие на объект с неконтролируемых входов. Для этого в каждом цикле перед измерением текущего значения  $y_o$  последнее вычисляется по (4). Ошибку  $y_o - y_{\text{расч}}$  относим к изменению статической характеристики объекта на ее рабочем участке (имея в виду допущение 2, принятное в разделе I статьи):

$$A_n = A_{n \text{расч}} + (y_o - y_{\text{расч}}). \quad (8)$$

Здесь и далее  $A$ -дискретное значение переходной функции объекта, связанное с таблицей дискретных значений ИПФ соотношением

$$A_k = \sum_{i=1}^k \alpha_i, \quad (9)$$

а  $A_{n \text{расч}}$  для (8) вычислено в предыдущих тахах по (5) и (9). Затем соответственно пересчитывается вся таблица  $\alpha_i$  ( $1 \leq i \leq n$ ):

$$\alpha_i = \alpha_{i \text{расч}} \cdot \frac{A_n}{A_{n \text{расч}}}. \quad (10)$$

Коррекция по (10) увеличивает достоверность дальнейших расчетов по (5) и устойчивость процесса построения модели.

#### 4. Формирование управляющих воздействий

Алгоритм вычисления управляющих воздействий строится исходя из основного требования к следящей системе – отработки заданной величины  $y_{\text{заг}}$  с максимально возможными точностью и быстродействием. Диапазон допустимых значений управляющих воздействий, ограниченный техническими требованиями, известен:

$$x_{\text{inf}} \leq x \leq x_{\text{sup}}$$

Рассмотрим процесс регулирования для случая  $y_{\text{заг}} = \text{const}$ , начиная с момента, когда имеется значительное рассогласование между предписанным и действительным текущим значениями управляемой величины. Очевидно, оптимальным управляющим воздействием в этот момент будет одно из граничных значений  $x$  (в зависимости от знака рассогласования). Положим, для определенности, что в начальный момент  $y_o - y_{\text{заг}} < 0$ . Выдав на вход объекта воздействие  $x_0 = x_{\text{sup}}$  будем, пользуясь моделью (4), просматривать процесс на  $\tau$  шагов вперед в предположении, что

$$x_1 = x_2 = x_3 = \dots = x_\tau = x_{\text{inf}}, \quad \text{т.е. } \Delta x_1 = x_{\text{inf}} - x_{\text{sup}}; \quad \Delta x_2 = \Delta x_3 = \dots = \Delta x_\tau = 0. \quad (II)$$

Используя модель (4), вычислим ожидаемые приращения  $\Delta y_i$  для  $\tau$  последующих тактов (очевидно, такой прогноз имеет смысл при  $\tau \leq n$ , так как все последующие  $\Delta y_i$  в силу (II) равны нулю):

$$\begin{aligned} \Delta y_1 &= \sum_{i=1}^n \alpha_i \cdot \Delta x_{i+1}; \\ \Delta y_2 &= \sum_{i=1}^n \alpha_i \cdot \Delta x_{i+2}; \\ &\vdots \\ \Delta y_\tau &= \sum_{i=1}^n \alpha_i \cdot \Delta x_{i+\tau}. \end{aligned} \quad (II)$$

Сложив почленно все  $\tau$  уравнения (II), получим после подстановки в них (II) и приведения подобных членов:

$$\begin{aligned} y_\tau - y_o &= A_{\tau-1} \cdot \Delta x_\tau + \sum_{i=1}^{n-2} (A_{\tau-i+1} - A_{i-1}) \cdot \Delta x_{i+1} + \\ &+ \sum_{i=1}^{n-1} (A_n - A_{n-i+1}) \cdot \Delta x_{n-i+1}. \end{aligned} \quad (13)$$

Так как для  $x_0 = x_{\text{sup}}$  установившееся значение  $y_n$  равно  $y_{\text{sup}}$ , а для  $x_1 = x_{\text{inf}}$  – соответственно  $y_{\text{inf}}$ , то выдача на вход

объекта  $x_{sup}$  всегда за  $x_{sup}$  должна привести к появлению максимума  $U_{tmax}$  (см. рис. 2), характеризующегося условием

$$U_{t+1} - U_t \leq 0. \quad (14)$$

Поэтому после выдачи  $x = x_{sup}$  производим в текущем и каждом последующем тактах прогнозирование процесса по (13) до момента  $t = \tau + 1$ , где  $\tau$  ограничивается по выполнению условия (14).

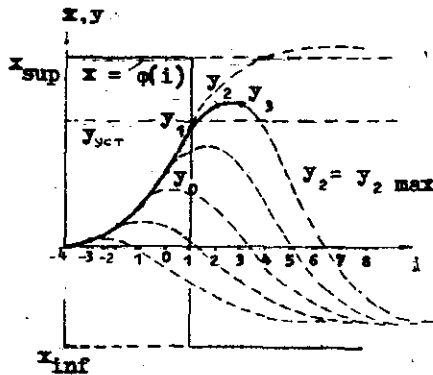


Рис.2. Прогнозирование максимума.

$\Delta x$  в (12) меняется на обратный.

В результате через  $\tau$  тактов после выдачи планируемого граничного воздействия  $x_{inf}$  окажутся выполненными 2 важных для процесса регулирования условия (14) и (15), т.е. рассогласование и его первая производная будут близки к нулю. Если теперь выдавать в каждый следующий момент такое воздействие  $x_i$ , чтобы прогнозируемое значение  $U_t$  всегда удовлетворяло условиям (14) и (15), то задача следящей системы была бы выполнена. Однако решение системы уравнений (12) относительно всей последовательности  $x_i$  ( $1 \leq i \leq \tau$ ) затруднительно [4]. К тому же в [7] показано, что в каждом шаге достаточно вычислять лишь первый член этой последовательности. Поэтому за исходное уравнение принимаем (13), являющееся частным случаем (12) для фиксированного воздействия. Подстановка в (13) обоих условий (14 и 15) приводит к системе из 2 уравнений, совместное решение которых требует значительного объема вычислений. С целью упрощения расчетов в дальнейшем (после определения  $\tau$ ) условие (14) не ис-

Планируемое воздействие  $x_i = x_{sup}$  реализуется в том такте, в котором для прогнозируемого  $U_{tmax}$  выполняется условие

$$U_{t+1} - U_{tmax} \leq 0, \quad (15)$$

т.е. с упреждением на  $\tau$  тактов;  $\tau$  фиксируется для использования в последующих тактах. Если начальное рассогласование перед пуском системы имело обратный знак, то в (14) и (15) знаки  $\leq$  соответственно меняются на  $\geq$ ; в качестве начального воздействия выбирается  $x_{inf}$  и прогноз ведется для  $x_i = x_{sup}$ , т.е. знак при

используется. Помоговое рассмотрение процесса показывает, что ухудшение качества регулирования при этом незначительно.

Итак, подставляем в (13) условие (15) в виде точного равенства и решаем (13) относительно  $x_i$ :

$$x_i = x_0 - \frac{1}{A_{t+1}} [U_0 - U_{t+1} + \sum_{i=1}^{n-2} (A_{t+i-1} - A_{i-1}) \cdot \Delta x_{i-1} + \sum_{i=1}^{\tau} (A_n - A_{n-i-1}) \cdot \Delta x_{n-i-1}] \quad (16)$$

Вывод (16) был проведен в предположении, что допущения I и 2 п. I статьи действительны на интервале времени  $[(-n) \div \tau]$ , т.е. в предположении неизменности ПФ объекта. При существенном изменении ПФ на рабочем интервале времени  $[(-n) \div \tau]$  управление по (16), естественно, не является оптимальным, а иногда даже не отвечает требованиям устойчивости. Поэтому необходимо заново определить  $\tau$  при наличии значительного рассогласования  $U - U_{t+1}$ , т.е. переходить к расчетам по (13) + (15) каждый раз, когда вычисленные по (16) величины  $x_0$  и  $x_i$  удовлетворяют условию (II).

Алгоритм (16) справедлив и для случаев, когда предписанное значение  $U_{t+1}$  изменяется в каждом такте случайно либо по заданной программе. В последнем случае условия (14) и (15) для определения  $\tau$  с целью уточнения управления могут быть заменены более общими:

$$U_{t+1} - U_t \leq U_{t+1,zag} - U_{t,zag}, \quad (14')$$

$$U_{t,zag} - U_t \leq 0. \quad (15')$$

## 5. Рабочий алгоритм следящей системы

В каждом цикле работы системы выполняются расчеты по формулам, приведенным в разделах 3 и 4 статьи. Объем и порядок вычислений регулируются введенными в этих разделах ограничениями, а также условиями (6), (14) и (15) (см. рис. 3).

В соответствии с ограничениями на вычисления по (5) система включается в работу при установленных значениях  $x$  и  $U$  перед сменой предписанного значения  $U_{t+1}$ .

После выдачи системой в первом такте управляющего воздействия ( $x_{sup}$  либо  $x_{inf}$ ) в каждом следующем такте производятся:

- определение коэффициентов  $\Delta x_i$  модели по (5);
- контроль выполнения условия (6), характеризующего окончание реакции объекта на первую смену воздействия  $\Delta x_n$ ;
- прогнозирование величины  $U_{tmax}$  по (13) и (14) и срав-

1. Измерение  $y_o$ . Выбор и выдача  $x_o$ .
2. Выбор  $x_{sup}$  или  $x_{inf}$ .
3. Против по (13) и (14) для  $|\Delta x_1|_{sup}$ .
4.  $y_{tmax} \geq y_{zad}$  (15)?
5. Занесение  $x_1 = x_{sup}$  ( $x_{inf}$ ).
6. Против по (13) и (14) для  $|\Delta x_1|_{sup}$ .
7.  $y_{tmax} \geq y_{zad}$  (15)?
8. Занесение  $x_1 = x_{sup}$  ( $x_{inf}$ ).
9. Вычисление  $\Delta x_1$  по (16).
10. Занесение  $\Delta x_1$  в таблицу.
11.  $|\Delta x_1| \geq |\Delta x_1|_{sup}$ ?
12. Синхронизация и сдвиг таблицы  $\Delta x_1$ .
13. Выдача  $x_o$  на объект.
14. Измерение  $y_o$ .
15.  $\tau$  зафиксировано?
16. Коррекция по (10).
17. Вычисления  $\sigma_e$  по (5).
18. (6) выполняется?
19. Фиксация  $\tau$  (7).

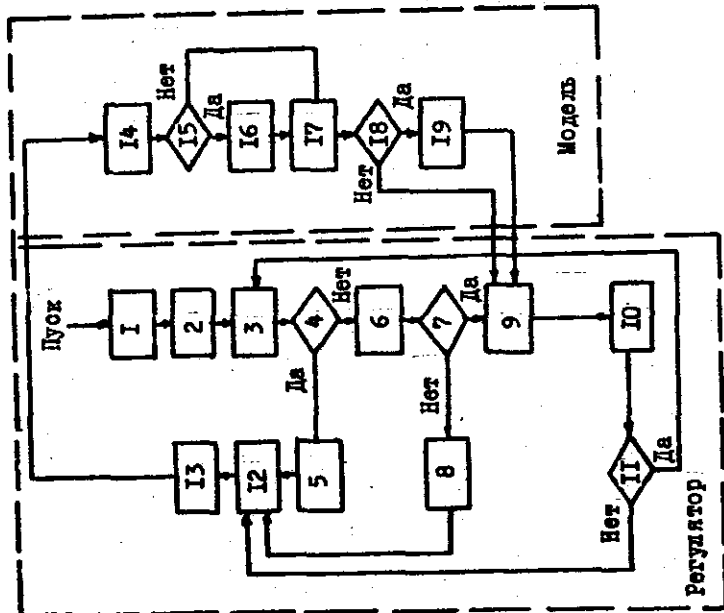


Рис. 3. Алгоритм слежения.

нение этой величины с  $y_{zad}$  по (15).

После выполнения условия (6) в построение модели включаются уравнения (9), (10) для ускоренной коррекции модели.

В регулирующей части алгоритма после выполнения условия (15) прекращаются вычисления по (13) и (14), и регулятор переходит к нормальной работе по (16), возвращаясь к (13), (14), (15) каждый раз, когда вычисление по (16) дает

$$|\Delta x_1| \geq |\Delta x_1|_{sup} - |x_{inf}| = |\Delta x_1|_{sup}.$$

## 6. Экспериментальная проверка

Поведение системы проверялось на УВМ "Днепр" в режиме стабилизации  $y$ . Статическая характеристика объекта линейна  $y = \alpha x$ ; реакция объекта на скачок входного воздействия  $h(i)$  — апериодическая; время реакции  $\tau = 15$ . Объект имитировался программно в форме (4) по заданной таблице коэффициентов  $\alpha_i$ .

Рисунки 4 а, б иллюстрируют пуск системы для двух случаев: полного отсутствия априорной информации об объекте перед пуском (а) и наличия точной модели (б).

Объем программы следящей системы — 800 машинных команд; время, необходимое для вычислений в одном цикле, —  $(0,1 + 0,15)$  сек.

## 7. Заключение

Описанная следящая система позволяет вести устойчивое и точное слежение за заданным значением управляемой величины при изменяющейся ПФ объекта. Для функционирования системы необходим минимум априорной информации об объекте, а идентификация его ПФ в форме (5) не требует специальных пробных входных воздействий. Дополнив (5) контролем знака  $\Delta x_{ik}$  и несложным логическим правилом, можно включить в область применения системы случай, когда объект имеет две различные ИПФ для разнополярных входных импульсов.

Основные формулы (5), (13), (16), используемые при работе системы, однотипны и просты, удобны для машинных вычислений в реальном масштабе времени.

Алгоритм управления включает в себя требование (15) об отсутствии статической ошибки, а периодический контроль условия (14) гарантирует устойчивость системы.

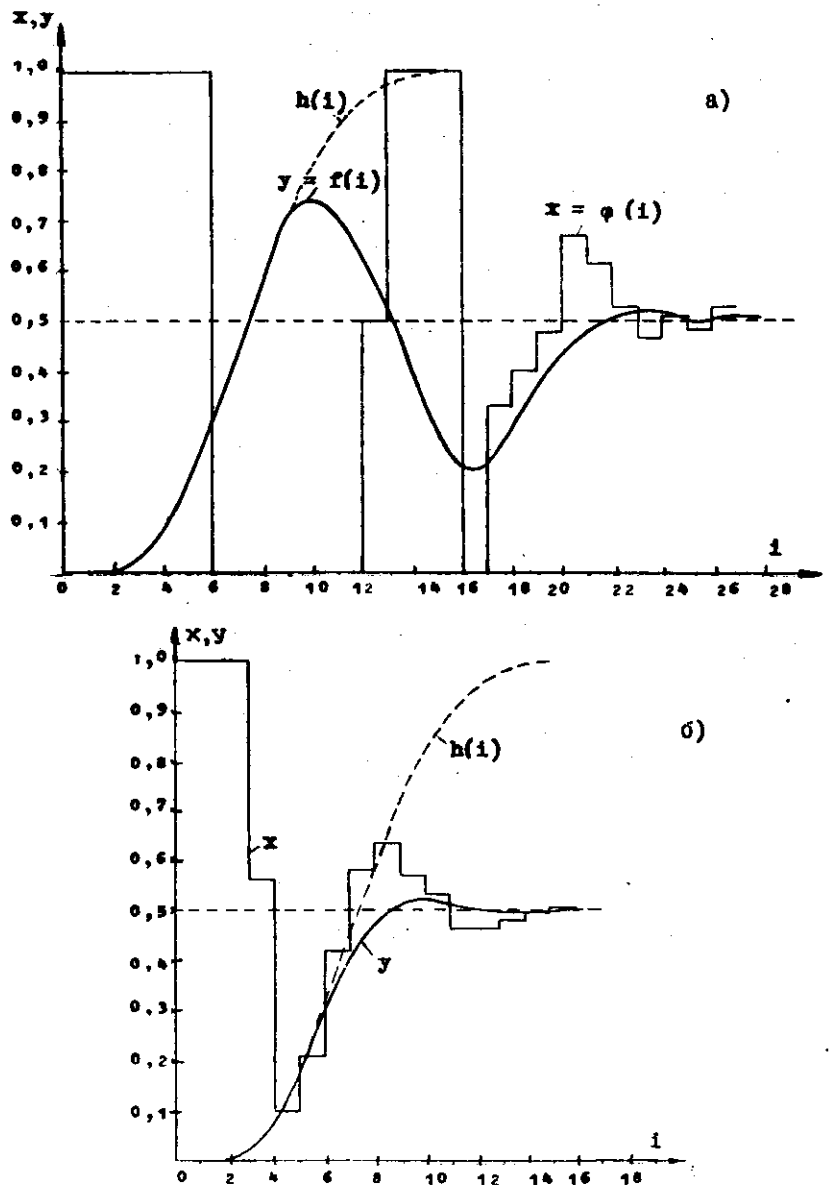


Рис. 4. Переходный процесс в системе: а) при отсутствии перед пуском начальной информации об объекте; б) с полной информацией об объекте;  $h(i)$  — переходная функция объекта.

К недостаткам системы следует отнести разрывность ПФ модели в точках  $\kappa$ , для которых в текущий момент рассчитываются  $\Delta \alpha_k$  по (5), а также отсутствие в алгоритме управления требования (I4) о непосредственном контроле первой производной рассогласования.

В связи с этим управление по (I6) не является оптимальным по быстродействию, а лишь приближается к таковому. Тем не менее во многих практических случаях применение подобной следящей системы может быть оправданным и эффективным.

#### Л и т е р а т у р а

1. Э.В. ЕВРЕИНОВ, Ю.Г. КОСАРЕВ. О системах автоматизации научных экспериментов для разработки вычислительных систем. — Вычислительные системы, Новосибирск, изд-во "Наука" Сиб.отд. 1963, вып. 8.
2. М.Р. ЕЛИСТРАТОВ. Определение динамических характеристик нестационарных систем в процессе нормальной работы. — Автоматика и телемеханика, т. XXIV, № 7, 1963.
3. Л. БРАУН. Приспособливающиеся системы автоматического управления с вычислительными устройствами. — "Приспособливающиеся автоматические системы" под ред. Э.Мишкина и Л.Брауна, М., ИЛ., 1963.
4. А. НОМОТО. Применение динамического программирования для прямой оптимизации системы. — Труды Международного симпозиума ИФАК "Самонастраивающиеся автоматические системы". М., Изд. "Наука", 1963.
5. А.А. ФЕЛЬДБАУМ. О проблемах теории дуального управления. — "Дискретные и самонастраивающиеся системы". Труды II Международного конгресса ИФАК, изд. АН СССР, т.3, 1965.
6. А.А. ФЕЛЬДБАУМ. Теория дуального управления. — Автоматика и телемеханика. т. XXI, № 9, II, 1960; т. XXII № 1, 2, 1961.
7. Б. ФРИДЛАНД. Оптимальное управление дискретными динамическими процессами. — "Дискретные и самонастраивающиеся системы". Труды II Международного конгресса ИФАК, изд-во АН СССР, т. 3, 1965.
8. В. ПЕТЕРКА. Комбинация конечного времени регулирования и минимума интеграла квадрата ошибки в цифровых системах управления. — "Дискретные и самонастраивающиеся системы". Труды II Международного конгресса ИФАК, изд. АН СССР, т.3, 1965.
9. Ш. ГОРИНГ. Синтез оптимальной системы автоматического управления с прогнозированием. — "Оптимальные системы, Статистические методы. Труды II Международного конгресса ИФАК", изд-во АН СССР, т. 2, 1965.
10. В.С. ПУГАЧЕВ. Теория случайных функций. М., Физматгиз, 1962.

Поступила в редакцию  
18 августа 1963 г.